

## II - 4 海水中における汚染物質の挙動（予報）

国立公衆衛生院 正会員○金子 光美  
千葉県水質保全研究所 川島 信二  
全 上 鎌田 功

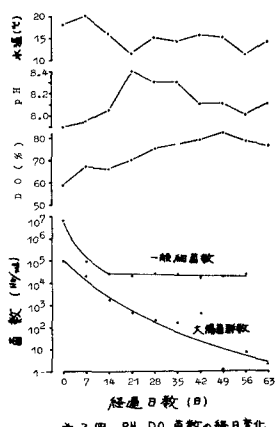
最近の産業経済の発展生活の向上とともに排出される種々の物質による海洋の汚染を防止するためには海洋のもつ自然の浄化能力自体を検討しなくてはならない。海洋汚染に関する油汚染、放射能汚染、重金属汚染、温汚染、有機物汚染、難分解性有機物による汚染、無機物類による汚染が重要な問題として考えられる。物質循環との関連から汚染物質の動きに注目したものとして富栄養化と無機物類の実験、重金属の現存量などの報文が多い。しかし微生物集団を汚染のインストラムとして取上げたものは少ない。ここでは汚染のインストラムとして微生物集団そのものおよび人工的有機化合物をとりあげた。すなわち、海洋の水質転換能力を知るための基礎的研究として、海域に下水汚泥などが混入した場合の汚泥と重金属、有機物汚染の実験を調べ、また海水中におけるM A SやP C Bの人工的有機化合物の形態変化や遷移についての知見をうるための二、三の実験を行なったので、その結果を報告する。

### I. 汚泥の分解と重金属の溶出

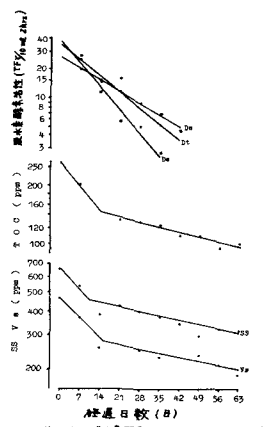
I - I. 実験方法。ふた付ポリ容器に海水(千葉県千倉町水産試験場地先で採取)60lと活性汚泥(千葉市中央下水処理場の返送汚泥)5lを入れ、エアレーションと攪拌を行なった(第1図)。毎日毎に実験槽から試料を採取し、混合液の水温、pH、DO、一般細菌数、大腸菌群数、脱水素酵素活性、TOC、SS、VSS、カドミウム(Cd)、クロム(Cr)、水銀(Hg)を測定するとともに、メソブレンフィルター( $0.45\mu$ )で沪過した沪液について上記3種の金属を測定した。なお活性汚泥はあらかじめCdとHgを $6\text{mg}$ 、 $0.6\text{mg}$ 添加し、2昼夜エアレーションし汚泥中の重金属量を増量させたものを使用した。

### 2-2. 実験結果および考察

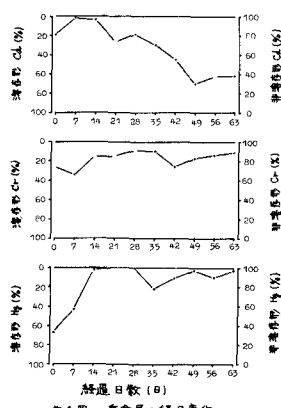
第2、3、4図に測定結果を示す。SS、VSS、TOCは好気的消化過程や細菌浮遊液と同様に2相の減少過程を示す。各項目の減少過程を  $X = X_0 \cdot 10^{-K_e t}$  (ここでX:測定項目、 $X_0$ :初期値、 $K_e$ :減少速度定数)で表わすと、SS、VSSの第2相の  $K_e$  はほぼ  $0.0025/\text{日}$  となり好気的消化の場合に比して相当小さい値であり、また第1相から第2相へうつる期間も好気的消化の約2日に比して7倍ほどの日数を要している。これは微生物相の相違、淡水と海



第2図 pH DO 噴露の経日変化



第3図 TOC SS VSSの経日変化

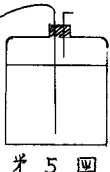


第4図 重金属の経日変化

水の相違のほかに本実験は水温が約15°Cと低温であったことに起因していると思われる。これは大腸菌群の海水中の  $K_e$  が 0.4~0.6/日であるという報告と本実験の大腸菌群の  $K_e$  が 0.08 と比較してもわかる。ゆえに低温における活性汚泥の減少は非常に緩慢であるといえる。活性汚泥の分解にしたがって汚泥中の重金属は水中に溶解または分散して溶液中の重金属は増加していくことが予想されだが、 $\pm$  千四のように重金属の種類によってそのパターンが異なり、Cd は再溶解の傾向が大であるが Gr, Hg の再溶解は少ないとと思われる。今回の実験における重金属濃度が小であるため、これらの傾向をより明瞭にするために高濃度における実験を行なう予定である。

## 2. MAS の分解

2-1. 実験方法. 光が入らないように紙に包んだ試薬びんに I の実験に用いた脱脂綿で詰めた海水 5 l にあらかじめ溶解しておいたジオクチアルスルホコハク酸ナトリウムを入れ、陰イオン界面活性剤として 10 ppm となるように調製し、室温 (20°C~15°C) で放置、経日的に水温、pH、DO、MAS を測定した。この実験で MAS が検出されなくなつて 7 日後に更にジオクチアルスルホコハク酸ナトリウム溶解を添加し、7 ppm とし、同様の実験を行なつた。  
(この場合は恒温室に放置した)



第 5 図

### 2-2. 実験結果および考察

第 6 図のごとく、ジオクチアルスルホコハク酸は初日の 7 日間は分解されず停滞現象がみられたが、その後、対数的に減少し、35 日目には検出されなくなつた。MAS の減少に伴い、初期に DO は 66% まで減少したが、後期には 80% まで回復した。微生物群の馴致により更にジオクチアルスルホコハク酸を添加したときは lag phase はみられず、最初の減少時の  $K_e$  は 0.09/日であるが、次のが再添加時の  $K_e$  は 0.13/日である。市販の MAS がこのような減少を示すかどうかは今後の検討課題である。

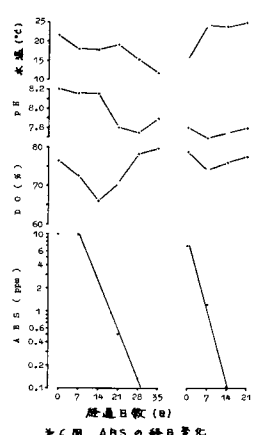
## 3. PCB の減衰

### 3-1. 実験方法

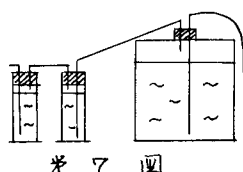
第 7 図のようなタヌキびんに海水 20 l を入れ、これにカネクロール (KC-400) 1 ppm や 0.1 ppm のエタノール溶液 20 ml を添加し、2 ppb 溶液と 20 ppb 溶液を調整した。試料びんは n-ヘキサンを入れた 2 個の洗浄びんと連続し、空気から PCB の混入と試料びんから気散する PCB 捕集に供えた。実験は室温 (21°C ~ 12°C) で行なつた。

### 3-2. 実験結果および考察

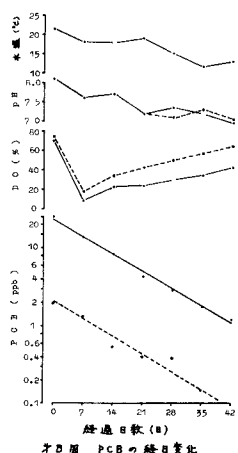
PCB は 2 ppb, 20 ppb のいずれの場合も対数的に減少し (第 8 図),  $K_e$  は 0.03/日であった。pH は 8.2 から 7.0 まで下がり、DO は実験開始後 7 日で 10~20% に低下しが、しだいに回復した。この DO の低下はおそらくエタノールの分解に消費されたものと思われる。実験を通じてガスクロマトグラムのパターンの変化は認められなかつた。図のような PCB の減少がおこる原因として、蒸発による気散、容器への吸着、生物分解などが考えられる。実験 35 日後の分析では洗浄びん中の n-ヘキサンに PCB は検出されなかつた。まことに筆者らの実験によれば、蒸発で PCB が減少する場合、低揮発性化合物の蒸発量が高揮発性物より多量であることが判明しているので、ガスクロマトグラムのパターンに変化がみられるはずである。活性汚泥によつてもなかなか分解されない難分解性物質である PCB の圍つよさを減少について目下検討中である。



第 6 図 ABS の毎日変化



第 7 図



第 8 図 PCB の毎日変化